МАГНИТНЫЕ МАТЕРИАЛЫ

Казин Павел Евгеньевич к. лекц. БХА, тел. 8 495 939 34 40, E-mail: kazin@inorg.chem.msu.ru Магнитные материалы – материалы, сильно взаимодействующие с магнитным полем и (или) сами создающие магнитное поле

Электрон, нуклоны \rightarrow спин \rightarrow магнитный момент (μ)

Движущиеся заряженные частицы ightarrow магнитное поле ightarrow магнитный момент

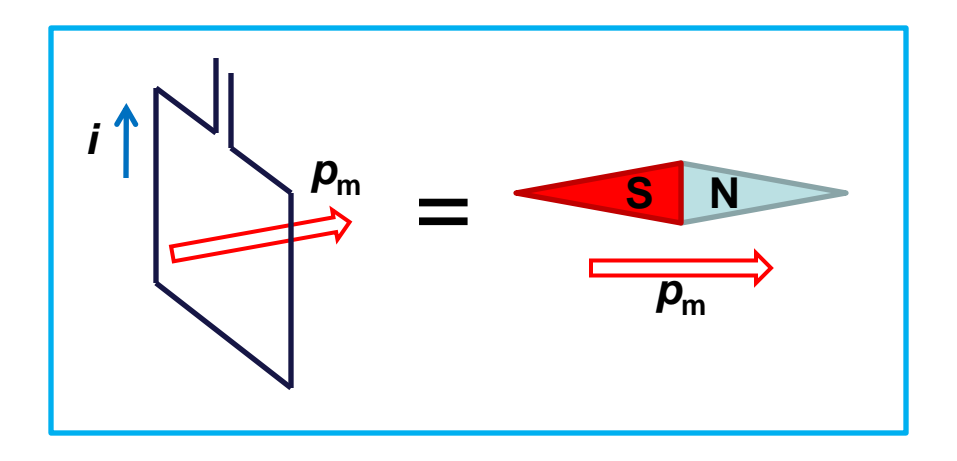
 μ (ядерн.) << μ (электр.) \to магнитные свойства определяются электронами

Литература

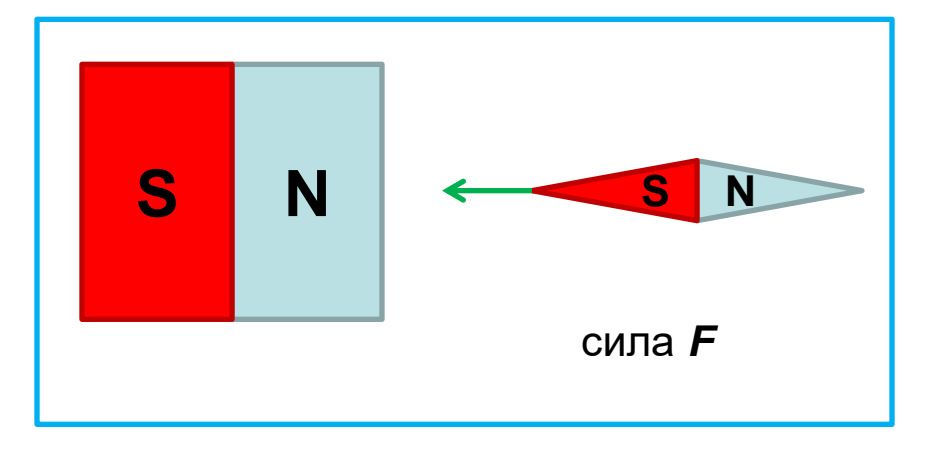
- 1. В.Т.Калинников, Ю.В.Ракитин. Введение в магнетохимию. М.: Наука, 1980
- 2. П.Селвуд. Магнетохимия. М.: ИЛ, 1958
- 3. С.В.Вонсовский. Магнетизм. М.: Наука, 1984
- 4. Р.Карлин. Магнетохимия. М.: Мир, 1989
- 5. А. Вест. Химия твердого тела, т.2. М.: Мир, 1988
- 6. Г.С.Кринчик. Физика магнитных явлений. М.: Изд-во МГУ, 1976
- 7. Д.Д.Мишин. Магнитные материалы. М.:Высшая школа, 1981

МАГНИТНОЕ ПОЛЕ

электрический ток i oмагнитное поле, напряженность H рамка с током oмагнитный момент $p_{\rm m}$





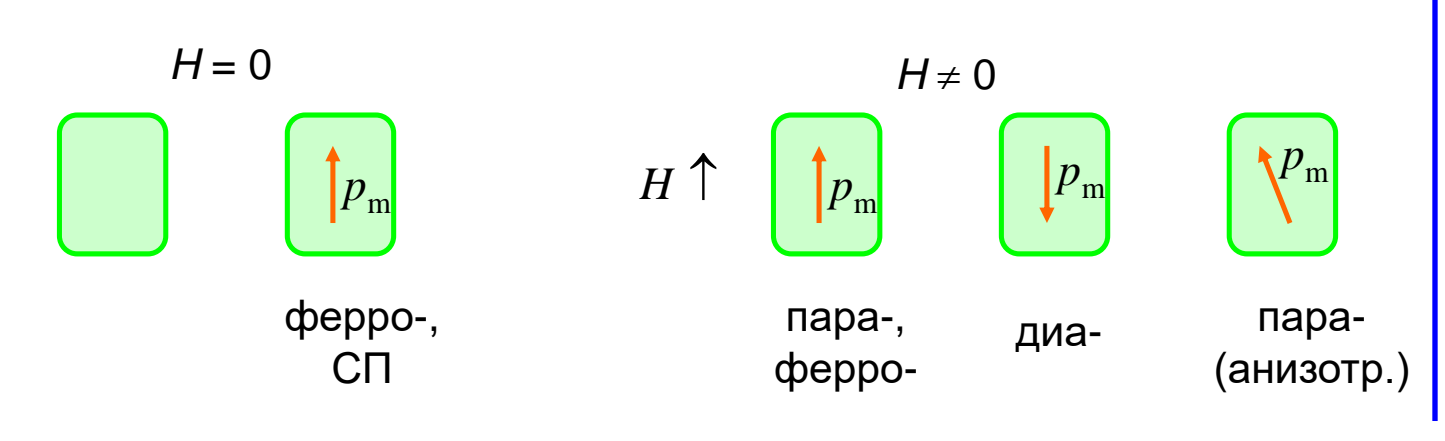


момент сил $\mathbf{P} = \mathbf{F} \times \mathbf{I} = \mathbf{p}_{m} \times \mathbf{H}$,

сила в неоднородном поле $F_x = p_m(dH/dx)$

Основные определения

Образец материала



 $p_{\rm m}$ – магн. момент образца материала *М* – намагниченность χ — магнитная восприимчивость

$$M = p_{\rm m}/V$$

$$M_{\text{\tiny VZ}} = p_{\text{m}}/m$$

диа-, пара- :
$$M \sim H$$
, $\chi = M/H$, $\chi_{yд} = M_{yg}/H$, $\chi_{мол} = \chi_{yд} M_{r}$

 $B = \mu_0(H + M) = \mu\mu_0H$, $\mu_0 = 4\pi \times 10^{-7}$ Гн/м. [H]=A/м, [B]=Тл, [M]=A/м, [χ]=безразм.

СГСМ: $B = H + 4\pi M = (1 + 4\pi \chi)H = \mu H$, $[H] = \Im$, $[B] = \Gamma c$, $[M] = \Im m e / c m^3 = \Gamma c$, $[\chi] = \Gamma c$, [

В переменном поле $\chi_{\text{дин}} = \chi' - i \chi''$

в вак.
$$B = H$$
 (СГСМ), $\mu = 1$, $\chi = 0$

Основные типы магнетизма

Диамагнетизм

эл. оболочки в атомах, эл. газ в металлах

 $\chi_{\rm VZ} \sim -10^{-6} \, {\rm cm}^3/{\rm F}$

 $B < B_{\text{Bak}}, \mu < 1, \chi < 0$

Парамагнетизм

наличие μ у неспар. эл-нов, эл. газ в металлах

 $\chi_{\rm yg} \sim 10^{-6} - 10^{-3} \, {\rm cm}^3/{\rm r}$

 $B > B_{\text{Bak}}$, $\mu > 1$, $\chi > 0$

Ферро(ферри-)магнетизм

▶ упорядочение атомных µ

 $\chi_{\rm VД}$ до 10⁵; $\chi = f(H)$

 $B >> B_{\text{вак}}, \, \mu >> 1, \, \chi >> 0$

Сверхпроводимость

▶ эл-ные пары, бозэ-конденсация B = 0; $4\pi \chi = -1$

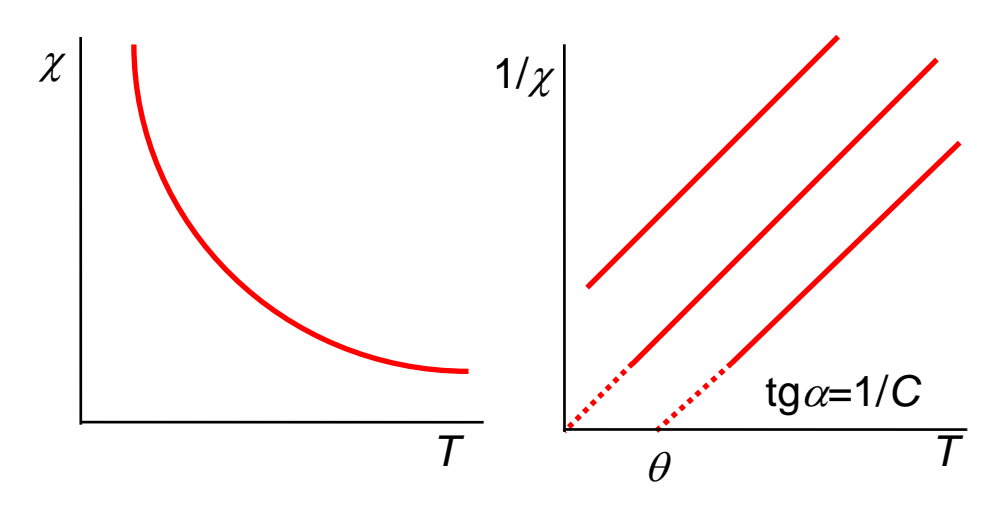
Температурнозависимый парамагнетизм

Электроны – *I*, **s.** Атом, ион \rightarrow неспаренные эл. $\rightarrow \mu_{\rm sob}$ [$\mu_{\rm B}$], $\mu_{\rm B}$ = $e\hbar/2m_{\rm e}c$ – магнетон Бора

$$L$$
, S , спин-орб. взаимод. (λ) \to J = L + S , ..., $|$ L - S $|$ $\mu_{\rm B}$ = 9.274*10⁻²¹ эрг/ Θ = 9.274*10⁻²⁴ Aм²

Относительно высокие температуры, малые поля: $kT>>\mu_{
m odd}H$

$$\chi_{\text{мол}} = N \mu_{\text{эфф}}^2/3kT$$
 \rightarrow $\chi_{\text{мол}} = C/T$, чаще $\chi_{\text{мол}} = C/(T-\theta)$, иногда $\chi_{\text{мол}} = C/(T-\theta) + N\alpha$



$$\mu_{\text{эфф}} = [(3k/N)\chi_{\text{мол}}T]^{1/2} = (8\chi_{\text{мол}}T)^{1/2}\mu_{\text{B}}$$
(CГСМ)

$$\mu_{\text{эфф}} = (8\text{C})^{1/2}\mu_{\text{B}}$$
 (если $\theta \neq 0$, при $T \rightarrow \infty$)

Многие соединения 3d-, 4d-элементов

Чисто спиновый:
$$\mu_{\text{эфф}}$$
= $g[S(S+1)]^{1/2}\mu_{\text{B}}, g$ ≈2

Соединения 4f-элементов

$$\mu_{\text{3}\phi\phi} = g[J(J+1)]^{1/2} \mu_{\text{B}},$$
 $n < 7, J = |L-S|; n > 7, J = L + S$
 $g = 1 + [J(J+1) - L(L+1) + S(S+1)]/[2J(J+1)]$

Чисто спиновый $\mu_{\mathrm{эфф}} = g[S(S+1)]^{1/2}\mu_{\mathrm{B}} = [\mathrm{n(n+2)}]^{1/2}\mu_{\mathrm{B}}$

| Кон- фиг. | Соединение | Коорд. симм. | Терм | μ _{эфф} (теор.) | μ _{эфф} (эксп.) |
|----------------|--|-----------------|------------------------------|-----------------------------|-----------------------------|
| d ¹ | VCI ₄ | Тетр. | ² E | 1.73 | 1.72 |
| d^3 | KCr(SO ₄) ₂ ·12H ₂ O | Окт. | 4 A $_{2g}$ | 3.87 | 3.84 |
| d ⁴ | CrSO ₄ ·6H ₂ O | Окт. | ⁵ E _g | 4.90 | 4.82 |
| d ⁵ | $K_2Mn(SO_4)_2 \cdot 6H_2O$ | Окт. | ⁶ A _{1g} | 5.92 | 5.92 |
| d ⁵ | (Et ₄ N)FeCl ₄ | Тетр. | ⁶ A ₁ | 5.92 | 5.88 |
| d ⁶ | $(Et_4N)_2FeCl_4$ | Тетр. | 5 E | 4.90 | 5.40 |
| d ⁷ | Cs ₂ CoCl ₄ | Тетр. | 4 A $_2$ | 3.87 | 4.71 |
| d ⁸ | $(NH_4)_2Ni(SO_4)_2\cdot 6H_2O$ | Окт. | 3 A $_{2g}$ | 2.83 | 3.23 |
| d ⁹ | $K_2Cu(SO_4)_2 \cdot 6H_2O$ | Окт. | 2E_g | 1.73 | 1.91 |

Отклонения $\mu_{\rm эфф}$ – примешивание возбужд. состояний за счет спин-орбит. взаимод. $g=2(1-\alpha\lambda/\Delta),~\alpha\sim 1$ Для 3d $|\lambda|=200-800$ см⁻¹, $\Delta\sim 10000$ см⁻¹ $\to \Delta g=|g-2|\sim 0.01-0.2$

Магнитные свойства соединений 4f-элементов

 λ велико, Δ мало − по сравнению с kT (комнатная температура)

$$\mu_{a \oplus b} = g[J(J+1)]^{1/2} \mu_B$$
, $g=1+[J(J+1)-L(L+1)+S(S+1)]/[2J(J+1)]$ $f^n: n < 7, J=|L-S|; n > 7, J=L+S$

| Ион | Состояние | g | g[J(J+1)] ^{1/2} | $\mu_{ m app}$, $\mu_{ m B}$ |
|-------------------------------------|---|------|--------------------------|-------------------------------|
| La ³⁺ , Ce ⁴⁺ | 4f ⁰ ¹ S ₀ | - | 0 | 0 |
| Ce ³⁺ , Pr ⁴⁺ | 4f ¹ ² F _{5/2} | 6/7 | 2.54 | 2.5 |
| Pr³+ | 4f ² ³ H ₄ | 4/5 | 3.58 | 3.6 |
| Nd ³⁺ | 4f ³ 4l _{9/2} | 8/11 | 3.62 | 3.6 |
| Pm ³⁺ | 4f ⁴ ⁵ l ₄ | 3/5 | 2.68 | 2.8 |
| Sm ³⁺ | 4f ⁵ ⁶ H _{5/2} | 2/7 | 0.84 | 1.5 |
| Eu ³⁺ , Sm ²⁺ | 4f ⁶ ⁷ F ₀ | 0 | 0 | 3.4 |
| Gd ³⁺ , Eu ²⁺ | 4f ⁷ ⁸ S _{7/2} | 2 | 7.9 | 7.9 |
| Tb ³⁺ | 4f ⁸ ⁷ F ₆ | 3/2 | 9.7 | 9.7 |
| Dy ³⁺ | 4f ⁹ ⁶ H _{15/2} | 4/3 | 10.6 | 10.5 |
| Ho ³⁺ | 4f ¹⁰ ⁵ l ₈ | 5/4 | 10.6 | 10.5 |
| Er ³⁺ | 4f ¹¹ ⁴ I _{15/2} | 6/5 | 9.6 | 9.5 |
| Tm ³⁺ | 4f ¹² ³ H ₆ | 7/6 | 7.6 | 7.3 |
| Yb ³⁺ | 4f ¹³ ² F _{7/2} | 8/7 | 4.5 | 4.5 |
| Lu ³⁺ , Yb ²⁺ | 4f ¹⁴ ¹ S ₀ | 0 | 0 | 0 |

Ферро- и антиферромагнетики

Обменное взаимодействие — дальний порядок атомных магнитных моментов

J>0 ↑↑↑↑↑↑ Fe, CrO₂, (La,Sr)MnO₃ Ферромагнетик (Ф):

Антиферромагнетик (АФ): $J < 0 \uparrow \downarrow \uparrow \downarrow \uparrow \downarrow \uparrow \downarrow$

J<0 $\uparrow\uparrow\downarrow\uparrow\uparrow\downarrow\uparrow\uparrow$ Ферримагнетик:

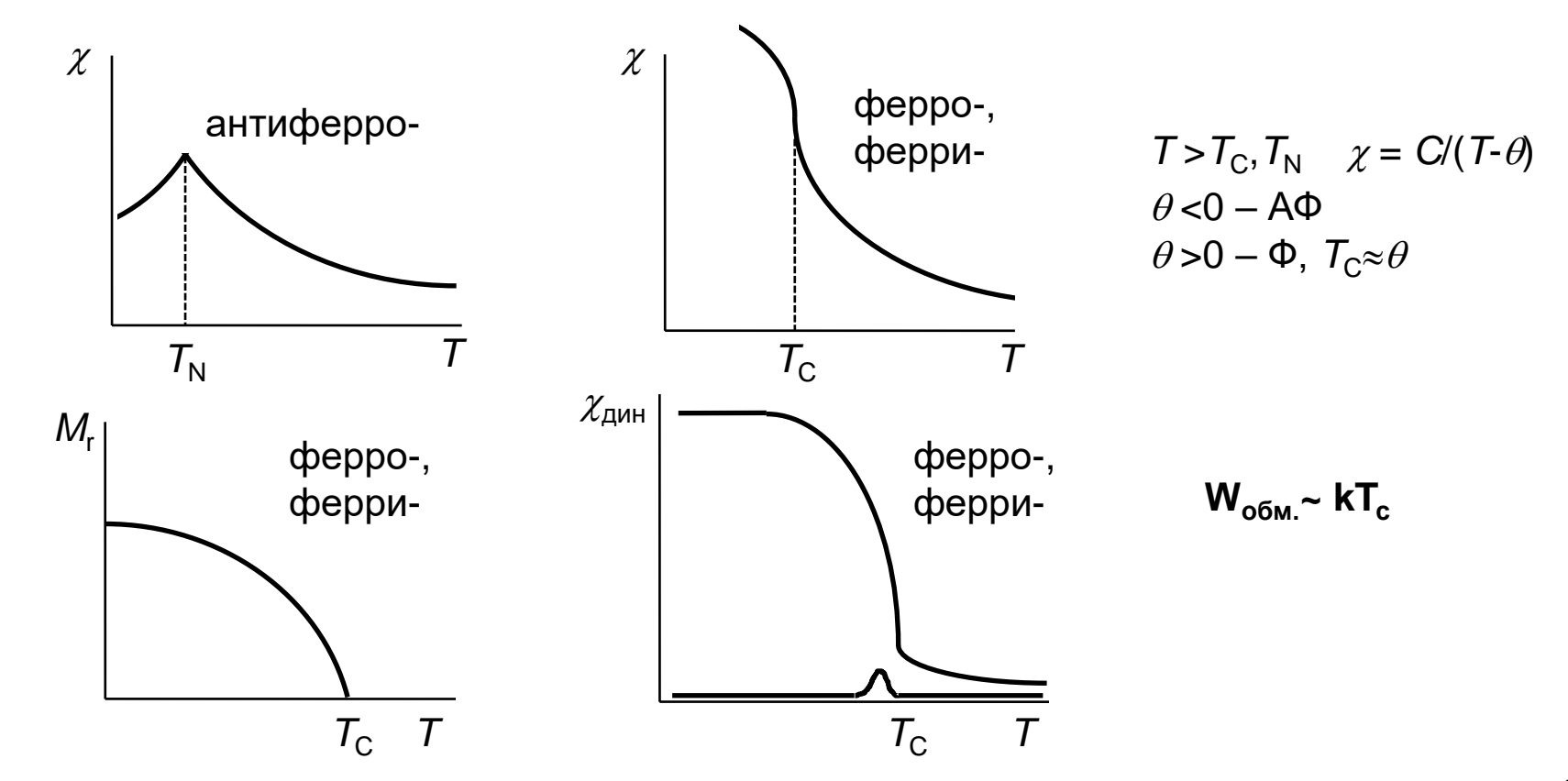
Слабый ферромагнетик: J<0 >< ><

Cr, CuO

Fe₃O₄, BaFe₁₂O₁₉

YFeO₃

Температура упорядочения: температура Кюри T_{c} (Ф), Нееля T_N (АФ)



Атомные магнитные моменты

 $\mu_{\text{ат}} = gJ\mu_{\text{B}}$; чисто спиновый $\mu_{\text{ат}} = gS\mu_{\text{B}} = 2S\mu_{\text{B}} = n\mu_{\text{B}},$ n — число неспаренных электронов

Металлы

| | T_{c} | n | эл.конф.а | ат. | эл.конф.м | іет . |
|----|---------|-----|-----------|---------------|------------------|------------------------|
| Fe | 1043 | 2.2 | d^6s^2 | \rightarrow | $d^{7.4}s^{0.6}$ | → 4.8e↑ 2.6e↓ |
| Co | 1404 | 1.7 | d^7s^2 | | | $\mu = 2.2 \; \mu_{B}$ |
| Ni | 631 | 0.6 | d^8s^2 | | | · |

Шпинели (MnFe₂O₄ , NiFe₂O₄ , FeFe₂O₄ , ...)

$$MeM_2O_4$$
 КПУ-О \uparrow Me (тэтр.) \downarrow M(окт.) \downarrow M(окт.) $\mu = |n_1(M)-n_2(Me)|_{\mu_B}$

Гранаты

$$R_3 Fe_5 O_{12} (R - P33)$$
 $3Fe^{\uparrow} 2Fe^{\downarrow}$ $\mu = |3\mu(R) - 5| \mu_B$

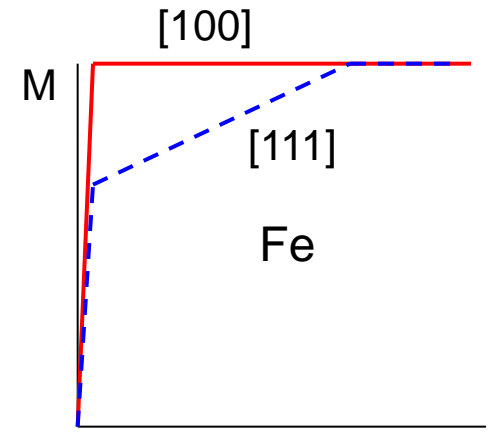
Гексаферриты

SrFe
$$_{12}$$
O $_{19}$ октаэдр 12k 6↑ μ = 4 · 5 μ = 20 μ м = 4 · 5 μ = 20 μ м = 4 · 5 μ = 20 μ м октаэдр 4f $_2$ 2 \downarrow октаэдр 2a 1↑ μ триг.бипир. 2b 1↑

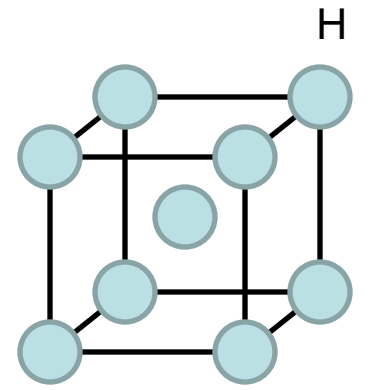
Магнитокристаллическая анизотропия

Со, гекс., 1 ось [001]

$$\mathsf{W}_{\text{\tiny M.KP.}} = \mathsf{K}_1(\alpha_1{}^2\alpha_2{}^2 + \alpha_2{}^2\alpha_3{}^2 + \alpha_1{}^2\alpha_3{}^2) + \mathsf{K}_2\alpha_1{}^2\alpha_2{}^2\alpha_3{}^2$$



| | K_1 |
|----|--|
| Fe | 4.72·10 ⁴ Дж/м ³ |
| Co | 4.52·10 ⁵ Дж/м ³ |
| Ni | -5.7·10³ Дж/м³ |

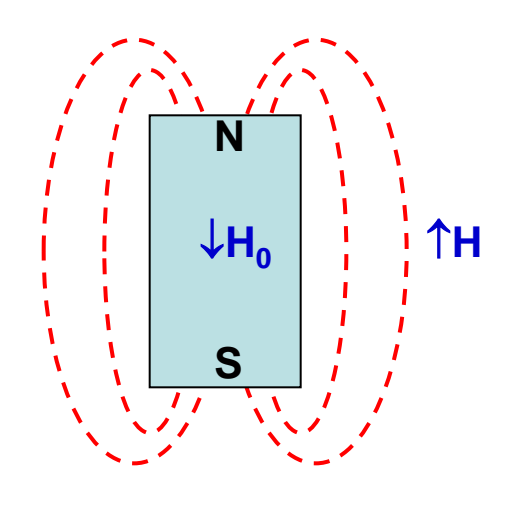


Магнитоупругое взаимодействие

Магнитострикция: $\lambda = \Delta I/I$, $\lambda_s = \Delta I/I$ при M_s упругая энергия $W_{\text{м.упр.}} = E_{\text{Юнга}} \, \lambda_s^{\ 2}/2$

Магнитостатическая энергия

$$W_{MAIH.} = -(1/2)\mu_0 MH$$



$$H_0 = -NM$$
 $H_i = H - NM = H(1 - N\chi)$

| ∞ цилиндр, пластина вдоль поля | N=0 |
|--------------------------------|-------|
| сфера | N=1/3 |
| ∞ цилиндр перпендик. полю | N=1/2 |
| ∞ пластина перпендик. полю | N=1 |

$$W_{\text{разм.}} = W_{\text{м.}} = -(1/2) \ \mu_0 MH_0 = (1/2)\mu_0 NM^2$$

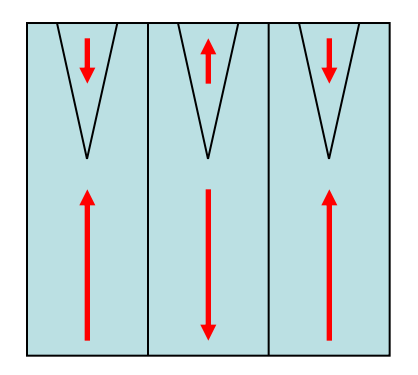
$$N_x + N_y + N_z = 1$$

Магнитный материал

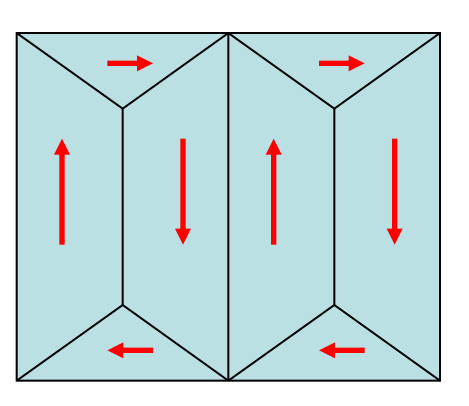
min W =
$$W_{oбм.}+W_{м.кр.}+W_{м.упр.}+W_{м.}$$

охлаждение образца (даже монокр.)
пара- \to ферро- M=0, \to min $W_{м.}$ \to образование доменной структуры

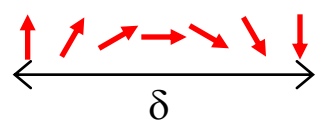
1 ось л.м.



3 оси л.м.

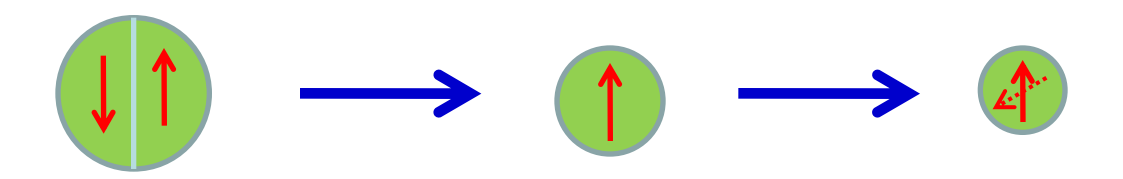


Доменные стенки



толщина границы $\delta = (kT_c/K_1a)^{1/2}$, а — расстояние между атомами энергия границы $E_{rp.} = 2(kT_cK_1/a)^{1/2}$ Fe: $\delta \sim 0.1$ мкм, $E_{rp.} = 2 \cdot 10^{-3} \text{Дж/м}^2$

Немагнитные включения – пиннинг (закрепление) границ



Мелкие частицы - однодоменные

Сферич. частица с одной осью л.м. $D_{\rm kp.} = 36 (kT_{\rm c}K_{\rm 1}/a)^{1/2}/(\mu_0 M_{\rm s}^2)$

 $D_{\kappa p.}$

Fe 0.05 мкм

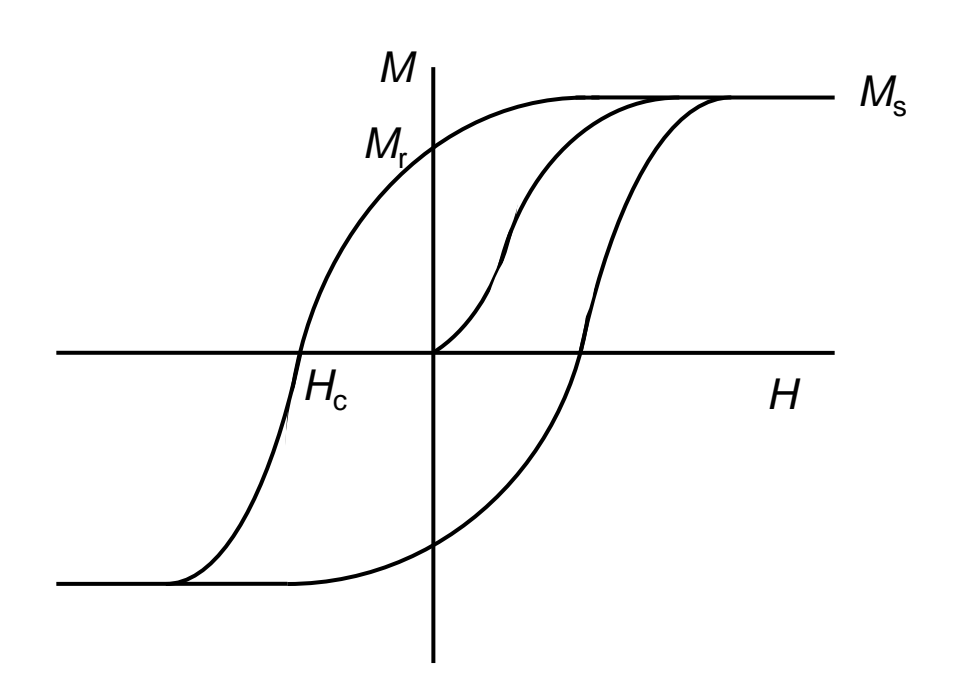
Mn-Bi 8 мкм

 $SrFe_{12}O_{19} \quad 0.8 \text{ MKM}$

Очень мелкие частицы - суперпарамагнитные

 $W_{\text{м.кр.}} \sim kT \to$ свободное вращение магнитного момента частицы $\chi_{\text{мол}} = C/(T-\theta), \quad C = \mu_{\text{ч}}^2/8n = (1/8) \; \mu_{\text{ат}}^2 \cdot n, \quad n-\text{число магнитных атомов в частице}$ Сферич. частица $d_{\text{с.п.}} = (25kT/K_1)^{1/3}$

Кривые намагниченности

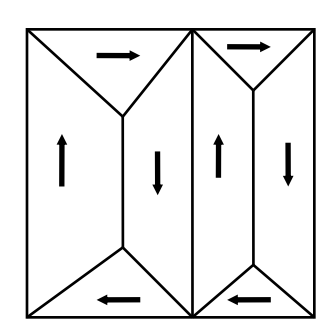


Материал – микроструктура – $H_{\rm c}, \, \mu, \, M_{\rm r}, \, M_{\rm s}, \,$ магнитная энергия W=(1/2)HB.

магнитомягкие, магнитотвердые

При
$$T \rightarrow 0$$
 $M_{\text{s (мол)}} = \Sigma \mu_{\text{at}} = N \mu_{\text{мол}}$, $\mu_{\text{мол}} = 2 \text{S } \mu_{\text{B}}$

«прямоугольность» петли гист., M_r/M_s \downarrow текстура, оси л.м.



Доменная структура:

- обменная энергия
- магнитокрист. анизотропия
- магнитострикция
- магнитостатическая энергия

Намагничивание:

- упругое смещение границ доменов
- необратимое движение границ доменов
- разворот вектора намагниченности в домене
- парапроцесс

Обратимая намагниченность

Упругое смещение границ доменов: $\chi_{\text{нач.}} \sim \text{SM}_{\text{s}}^2/\text{E}_{\text{гр.}}$, S — площадь границ

Гистерезис намагниченности

1. Задержка движ. границ доменов на включениях, дефектах

$$H_c$$
 = pK_мcⁿ, с – концентрация примеси, n \approx 1 D – диаметр включения, при δ_{rp} <\delta_{rp}/D, при δ_{rp} >>D p=D/ δ_{rp} H_c = max при D ~ δ_{rp}

2. Однодоменные частицы – необратимые процессы вращения

| Причина | Выр. для Н _с | Макс. знач. Н _с , кА/м | | |
|--------------------|-------------------------------|-----------------------------------|----------|----------------------|
| | | Fe | Co | Ni |
| Крист. анизотропия | $2K_1/\mu_0M_s$ | 40 | 480 | 11 |
| Форма (длин. цил.) | M _s /2 | 850 | 700 | 250 |
| Мех. напряжения | $3\lambda_s \sigma/\mu_0 M_s$ | 48 | 48 | 320 |
| | | (σ = | 20000 кг | тс/см ²) |

Материалы с максимально высокими магнитными параметрами

Co
$$T_c = 1404 \text{ K}$$

Сплав
$$60\%$$
Fe- 40% Co $B_s = 2.43$ Тл

Супермаллой:

$$\mu_{\text{HaY}} = 10^5$$
, $\mu_{\text{Makc}} = 10^6$, $H_c = 0.3 \text{ A/M}$

$$Nd_2Fe_{14}B$$
 $H_c = 1600 \text{ кA/м}, W_{Marh} = 400 \text{ кДж/м}^3$

$$Y_3 Fe_5 O_{12}$$
 $\rho = 10^{14} \text{ om} \cdot \text{cm}$

Применение

Техника (механика)

сепараторы, передача механических усилий, подшипники

<u>Электротехника</u>

электромоторы, электрогенераторы, трансформаторы, реле

<u>Электроника</u>

фильтры, резонаторы, антенны, магнитные экраны

Магнитная запись

запись, хранение и считывание информации, в т.ч. аудио-, видео.

<u>Медицина</u>

метки (диагностика), доставка лекарств, гипертермия (лечение)

магнитные сенсоры

магнитные жидкости

магнитное охлаждение

магнитооптика

магнитные полупроводники

Классификация магнитных материалов

металлы, сплавы, оксиды (керамика), композиционные, порошки, магнитные жидкости

Магнитомягкие

Общие требования:

- 1) узкая петля гистерезиса (малое H_c <1 кА/м, высокая μ) \to однородность, низкие K_1 , λ
- 2) высокая $M_{\rm s}$ и соотв. $B_{\rm s}$
- 3) минимальные АС-потери ightarrow высокое ho

| Материал | Применение (параметры) |
|--|--|
| Технически чистое железо, железо-кобальтовые сплавы | Электромагниты (макс. $B_{\rm s}$ до 2.4Тл) |
| Электротехнические стали | Трансформаторы (выс. μ) |
| Пермаллои (железо-никелевые сплавы) | Трансформаторы, магнитные экраны (мин. H_c =0.3A/м, макс. μ =10 ⁶ , K_1 ~0) |
| Аморфные сплавы (Fe,Ni+B,C,Si) | То же |
| Магнитодиэлектрики | ВЧ трансформаторы (мин. $H_{\rm c}$, макс. μ , $ ho$) |
| Ферриты | ВЧ, СВЧ электроника (мин. $H_{\rm c}$, макс. $\mu, ho)$ |

Магнитотвердые

Общие требования:

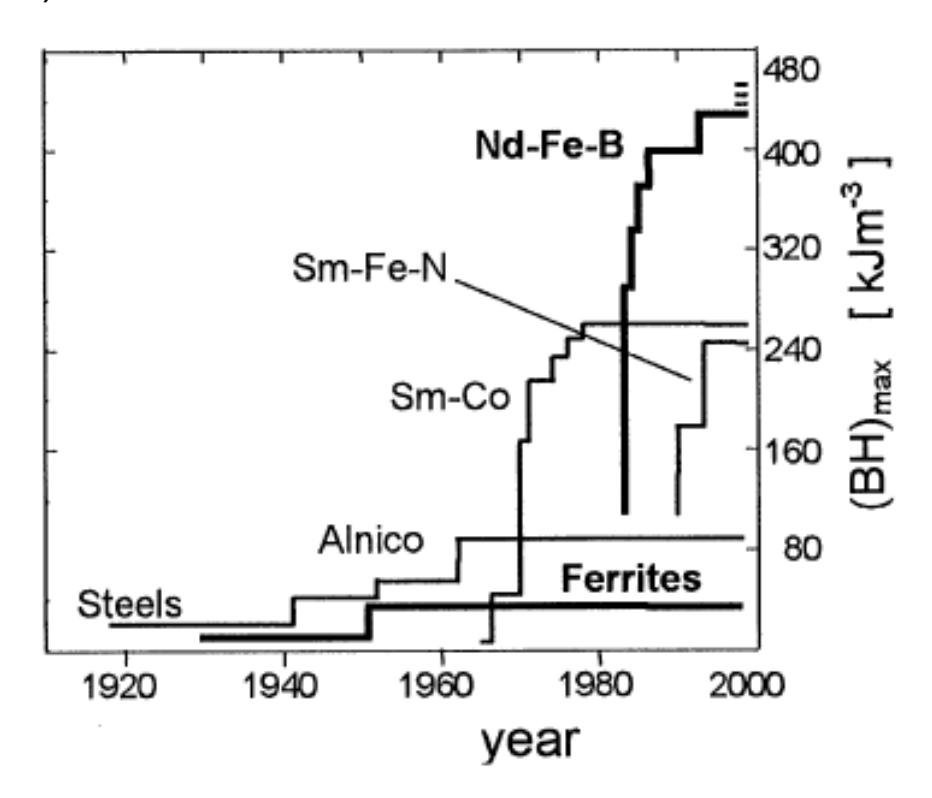
- 1) широкая петля гистерезиса (высокая $H_{\rm c}{>}10$ кА/м) ightarrow высокая $K_{\rm m}$
- 2) высокая $M_{\rm r}$ и соотв. $B_{\rm r}$
- 3) высокая магнитная энергия $W_{\rm M}$ =(*BH*) $_{\rm max}$ (~ площадь гистерезиса)

| Материал | Применение* (параметры) |
|---|--|
| Сталь (высокоуглеродистая) | { Магниты ($H_{\rm c}$ =50 кА/м, $W_{\rm M}$ =5 кДж/м³) } |
| Сплав алнико (Fe-Al-Ni-Co) | Магниты (H_c =150 кА/м, W_M =80 кДж/м³) |
| Сплавы РЗЭ – кобальт (SmCo ₅) | Магниты (H_c =1000 кА/м, W_M =250 кДж/м³) |
| Сплав неодим-железо-бор (Nd- Fe-B, Fe ₁₄ Nd ₂ B) | Магниты (H_c =1600 кА/м, W_M =450 кДж/м³) |
| Сплав (пленки) кобальт-хром | Магнитная запись ($H_{\rm c}$ =150 кA/м) |
| Ферриты (гексаферрит) | Магниты (H_c =300 кА/м, W_M =40 кДж/м³) Магнитная запись (H_c =150-400 кА/м) |
| Гамма-оксид железа (γ-Fe ₂ O ₃) | Магнитная запись ($H_{\rm c}$ ~50 кА/м) |

^{*}Магниты используются в электродвигателях, электрогенераторах, аудиотехнике, для передачи механических усилий.

Принципы создания сильных магнитов

- 1) монодоменные частицы (субмикро- и наноразмеры)
- 2) высокие $M_{\rm s}$, $K_{\rm 1}$ и $K_{\rm s}$
- 3) нанокомпозиты: магнитотвердые частицы в магнитомягкой матрице (в перспективе)



Достижения по магнитной энергии (кДж/м³) постоянных магнитов в 20 веке

Материалы для магнитной записи

Носитель магнитной записи (среда): магнитотвердые микро- и наночастицы в матрице 1 бит – группа частиц, намагниченных в одном направлении Тип записи: продольный, перпендикулярный (с 2006 г.) Гибкий носитель: вытянутые субмикронные частицы γ -Fe₂O₃(Co) в полимере, наночастицы гексаферрита бария (с 2006 г.) в полимере Жесткий носитель: наночастицы кобальта в матрице хрома, наногетерослои кобальт-медь (с 2006 г.).

Записывающая головка: магнитомягкий материал

Считывающая головка: магнеторезистивный материал

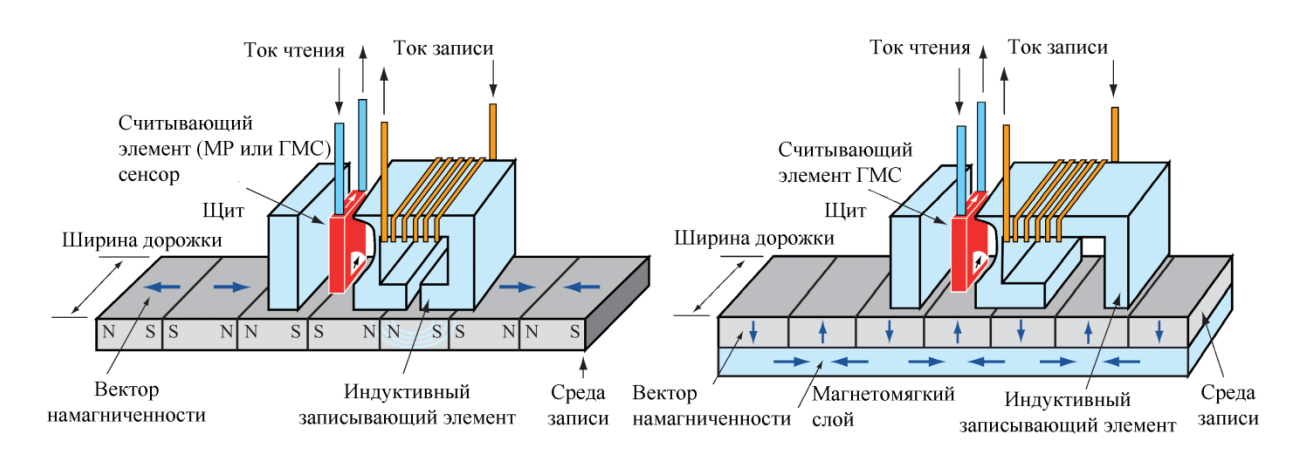
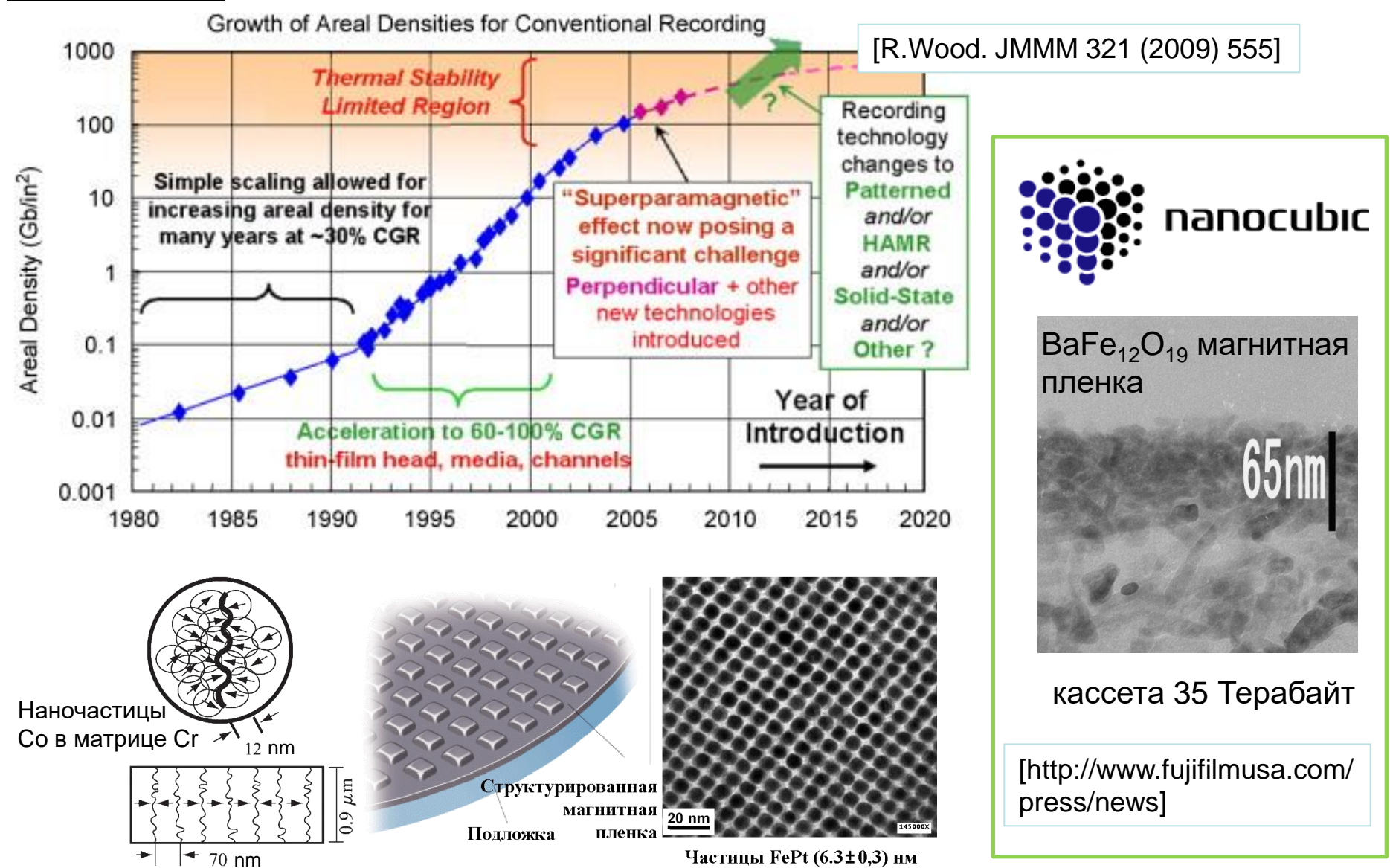


Схема реализации продольной и перпендикулярной записи

Развитие магнитной записи

Жесткие диски



Некоторые новые виды магнитных материалов

Материалы с колоссальным магниторезистивным эффектом

Эл. сопротивление сильно уменьшается в магнитном поле Манганиты (La,Sr)MnO₃. Датчики магнитного поля

Магнитоэлектрические материалы

Одновременно пьезоэлектрик и ферромагнетик BiFeO₃. Магнито-электрические преобразователи

Материалы для спинтроники

Магнитные полупроводники, слоистые наноструктуры Управление спином электрона при помощи электрического тока

Магнитокалорические материалы

 $Gd, Gd_5(Ge_{1-x}Si_x)_4$ Охлаждение за счет циклирования магнитного поля

Магнитные жидкости

Дисперсии наночастиц в жидкостях

Fe₃O₄ в органическом растворителе или воде

Уплотнители, невытекающая смазка, гипертермия, доставка лекарств, метки Дисперсии микрочастиц в жидкостях

Управляемая передача механического усилия (сцепление, амортизатор)